

**STIMA DEI FATTORI DI EMISSIONE DI PARTICOLATO ATMOSFERICO, IN
NUMERO ED IN MASSA, NELL'AREA URBANA DI LECCE PER DIVERSI
INTERVALLI DIMENSIONALI**

M. Conte, A. Donateo, F.M. Grasso, D. Contini

Istituto di Scienze dell'Atmosfera e del Clima
ISAC-CNR

**VIII Convegno Nazionale sul Particolato Atmosferico
Matera, 23 - 25 maggio**



Traffico veicolare ...

- principale fonte d'inquinamento nelle aree urbane
- complessa sorgente da stimare in termini di emissione

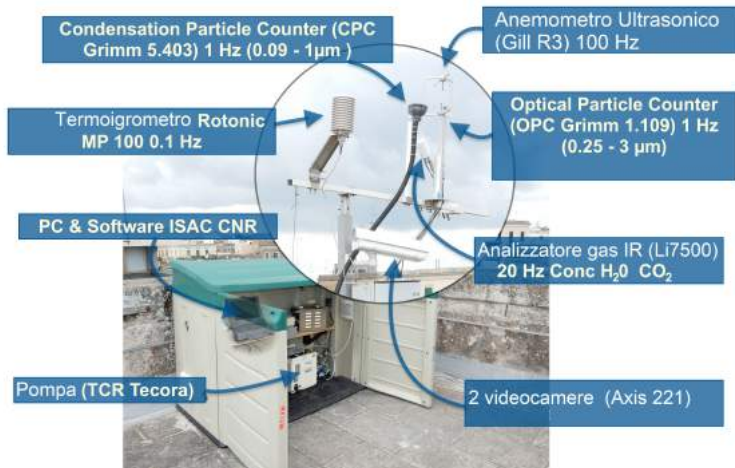
Stima dei fattori di emissione (EFs) size-segregated di particelle da misure di flussi turbolenti ottenuti mediante eddy-covariance (EC)



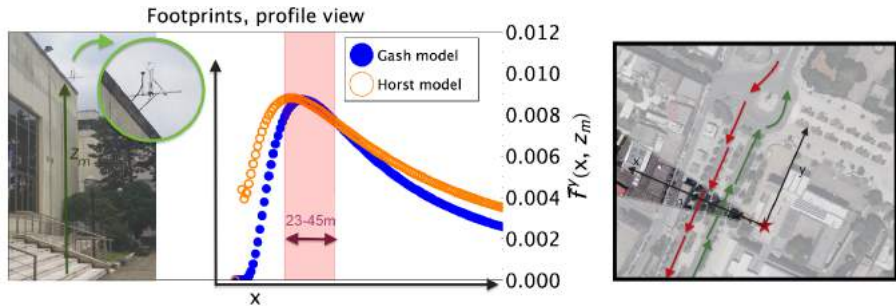
$d_0 = 7 \pm 0.5 \text{ m}$
 $z_0 = 1.3 \pm 0.1 \text{ m}$
 $z_m = 14 \text{ m}$

AFIRE (Aerosol Fluxes In uRban Environment) 10 Marzo-24 Aprile 2015

[Conte et al., 2018. Stoten, 622; 1067-78]



Footprint f : rappresenta il contributo, per unità di area, di tutti gli elementi di superficie sopravvento, al flusso scalare misurato $F_m \rightarrow F_m = \int_{-\infty}^{+\infty} \int_{-\infty}^x S(x) f(x, y, z_m)$



$$\bar{f}^y(x, z_m) \approx \frac{d\bar{z}}{dx} \frac{z_m}{\bar{z}^2} \left[\frac{\bar{u}(z_m)}{U(\bar{z})} A \exp(-z_m/(\bar{z}B))^r \right] \quad \text{Horst Model (1994)}$$

$$\bar{f}^y(x, z_m) \approx \frac{uz_m}{ku^* x_0^2} \exp\left(-\frac{uz_m}{ku^* x_0}\right) \quad \text{Gash Model (1986)}$$

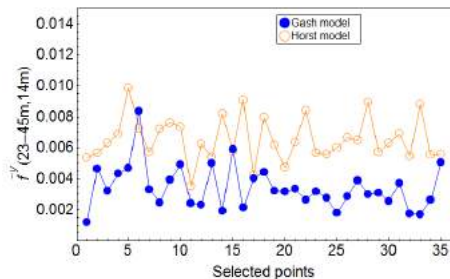
Footprints: selezione dei dati

- **direzione del vento:** $292.5 \pm 10^\circ$
- **condizioni atmosferiche neutrali:** $|(z_0 - d_0)|/L < 0.1$

35 casi selezionati!

- **velocità del vento:** > 0.5 m/s
- **Traffico:** > 248 Veh/h
- **Eliminazione flussi negativi:** 38% OPC

\bar{f}_{Gash}^y --> mediamente più bassa rispetto a \bar{f}_{Horst}^y



$$EF = \frac{F_m}{\bar{f}^y T_R}$$

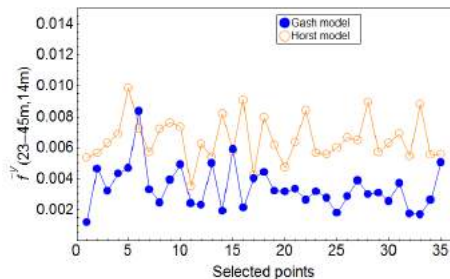
Footprints: selezione dei dati

- **direzione del vento:** $292.5 \pm 10^\circ$
- **condizioni atmosferiche neutrali:** $|(z_0 - d_0)|/L < 0.1$

35 casi selezionati!

- **velocità del vento:** > 0.5 m/s
- **Traffico:** > 248 Veh/h
- **Eliminazione flussi negativi:** 38% OPC

\bar{f}_{Gash}^y --> mediamente più bassa rispetto a \bar{f}_{Horst}^y



$$EF = \frac{F_m}{\bar{f}^y T_R}$$

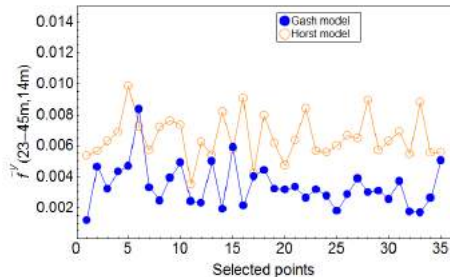
Footprints: selezione dei dati

- **direzione del vento:** $292.5 \pm 10^\circ$
- **condizioni atmosferiche neutrali:** $|(z_0 - d_0)|/L < 0.1$

35 casi selezionati!

- **velocità del vento:** > 0.5 m/s
- **Traffico:** > 248 Veh/h
- **Eliminazione flussi negativi:** 38% OPC

\bar{f}_{Gash}^y --> mediamente più bassa rispetto a \bar{f}_{Horst}^y



$$EF = \frac{F_m}{\bar{f}^y T_R}$$

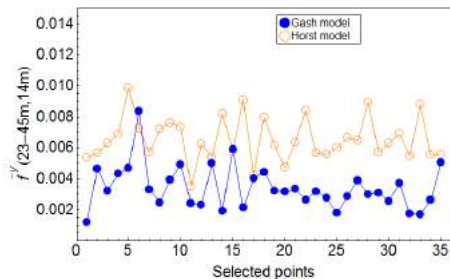
Footprints: selezione dei dati

- **direzione del vento:** $292.5 \pm 10^\circ$
- **condizioni atmosferiche neutrali:** $|(z_0 - d_0)|/L < 0.1$

35 casi selezionati!

- **velocità del vento:** > 0.5 m/s
- **Traffico:** > 248 Veh/h
- **Eliminazione flussi negativi:** 38% OPC

\bar{f}_{Gash}^y --> mediamente più bassa rispetto a \bar{f}_{Horst}^y



$$EF = \frac{F_m}{\bar{f}^y T_R}$$

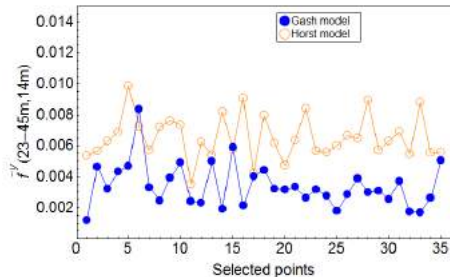
Footprints: selezione dei dati

- **direzione del vento:** $292.5 \pm 10^\circ$
- **condizioni atmosferiche neutrali:** $|(z_0 - d_0)|/L < 0.1$

35 casi selezionati!

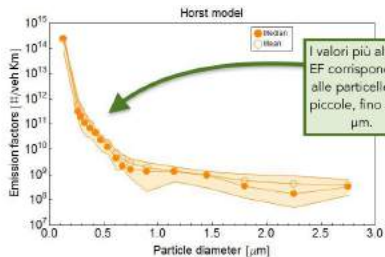
- **velocità del vento:** > 0.5 m/s
- **Traffico:** > 248 Veh/h
- **Eliminazione flussi negativi:** 38% OPC

\bar{f}_{Gash}^y --> mediamente più bassa rispetto a \bar{f}_{Horst}^y

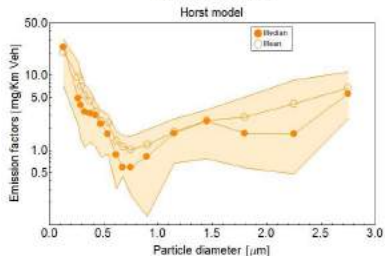
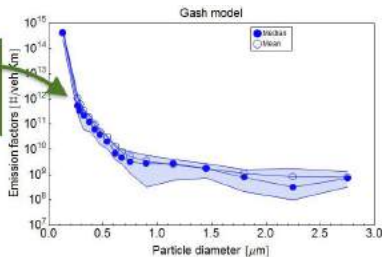


$$EF = \frac{F_m}{\bar{f}^y T_R}$$

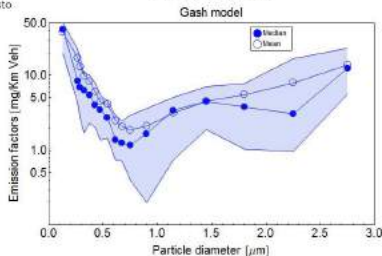
Fattori di emissione size-segregated



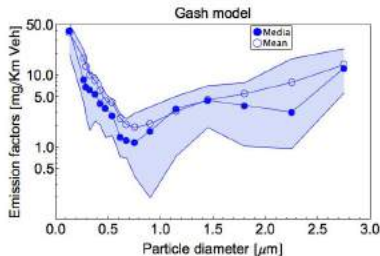
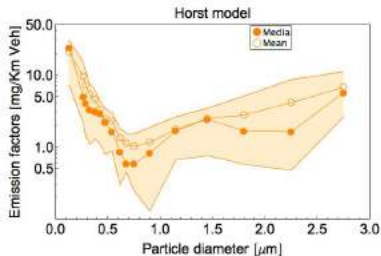
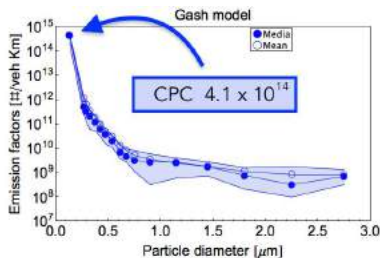
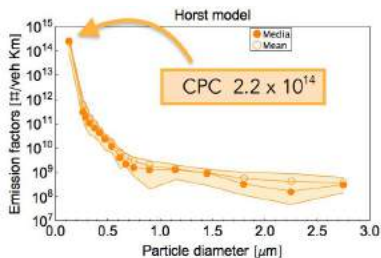
I valori più alti dei EF corrispondono alle particelle più piccole, fino a 0.5 μm .



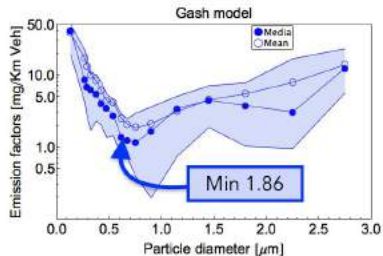
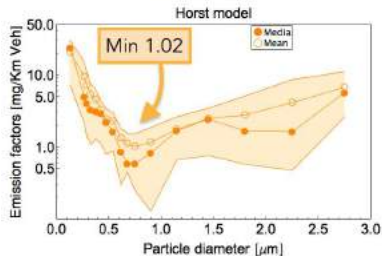
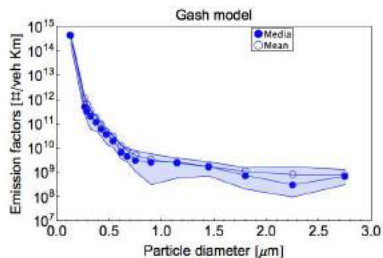
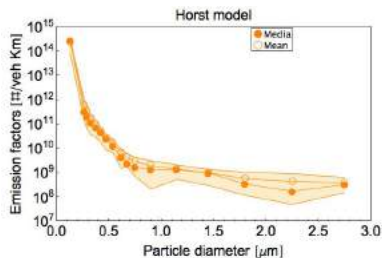
Testo



Fattori di emissione size-segregated

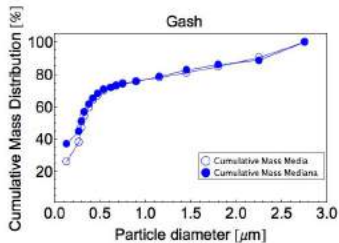
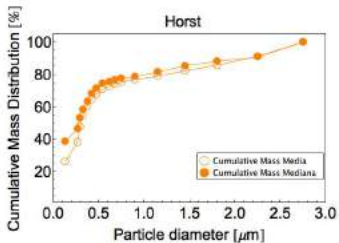
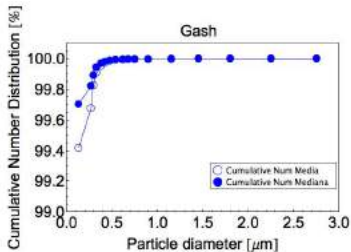
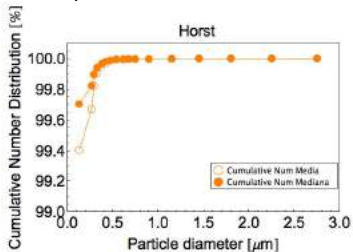


Fattori di emissione size-segregated



Risultati: distribuzione cumulativa

Crescita rapida moda di accumulazione



Crescita meno rapida: il 50% delle emissioni in massa si trovano entro 0.5 μm

Fattori di emissione size-segregated di particelle (in numero ed in massa)

EFs	Horst	Gash	Horst	Gash
	Numero [# / Veh km]		Massa [mg / Veh km]	
CPC $D_p < 0.25 \mu\text{m}$	$2.6 \cdot 10^{14}$ ($9.2 \cdot 10^{13} - 3.2 \cdot 10^{14}$) _{IQR}	$4.5 \cdot 10^{14}$ ($2.3 \cdot 10^{14} - 5.5 \cdot 10^{14}$) _{IQR}	24.3 (8.5 – 29.9) _{IQR}	41.9 (21.3 – 50.5) _{IQR}
OPC' $0.25 < D_p < 0.6 \mu\text{m}$	$7.6 \cdot 10^{11}$ ($3.2 \cdot 10^{11} - 1.9 \cdot 10^{12}$) _{IQR}	$1.4 \cdot 10^{12}$ ($6.2 \cdot 10^{11} - 2.6 \cdot 10^{12}$) _{IQR}	24.0 (11.9 – 51.8) _{IQR}	42.5 (22.1 – 73.1) _{IQR}
OPC'' $0.6 < D_p < 3 \mu\text{m}$	$1.03 \cdot 10^{10}$ ($3.3 \cdot 10^9 - 1.5 \cdot 10^{10}$) _{IQR}	$2.2 \cdot 10^{10}$ ($4.8 \cdot 10^9 - 3.0 \cdot 10^{10}$) _{IQR}	13.7 (6.0 – 29.0) _{IQR}	23.0 (15.7 – 48.6) _{IQR}
PM₁	$2.2 \cdot 10^{14}$ ($6.1 \cdot 10^{13} - 3.2 \cdot 10^{14}$) _{IQR}	$4.2 \cdot 10^{14}$ ($1.7 \cdot 10^{14} - 5.5 \cdot 10^{14}$) _{IQR}	36.6 (15.6 – 79.9) _{IQR}	62.4 (40.0 – 110.6) _{IQR}
PM_{2.5}	$2.2 \cdot 10^{14}$ ($6.1 \cdot 10^{13} - 3.2 \cdot 10^{14}$) _{IQR}	$4.2 \cdot 10^{14}$ ($1.7 \cdot 10^{14} - 5.5 \cdot 10^{14}$) _{IQR}	42.7 (21.0 – 91.9) _{IQR}	74.0 (44.1 – 128.0) _{IQR}

Comparazione dei EFs con letteratura



EFs	Numero [# / Veh km]	Note
AFIRE (2015)	$2.2 \cdot 10^{14}$ Horst $(9.2 \cdot 10^{13} - 3.2 \cdot 10^{14})_{IQR}$ $4.2 \cdot 10^{14}$ Gash $(2.3 \cdot 10^{14} - 5.5 \cdot 10^{14})_{IQR}$	EC
Nickel et al. (2013)	$3.5 \cdot 10^{14}$	tracciante NO _x
Contini et al. (2012)	$2.9 \cdot 10^{14}$ $(2.2 \cdot 10^{14} - 5.0 \cdot 10^{14})_{IQR}$	EC
Wang et al. (2010)	$(1.9 \pm 0.03) \cdot 10^{14}$	EC
Jarvi et al. (2009)	$(3.0 \pm 1.1) \cdot 10^{14}$	EC
Martensson et al. (2006)	$(1.4 \pm 0.1) \cdot 10^{14}$	EC
Kristensson et al. (2004)	$(4.6 \pm 1.9) \cdot 10^{14}$	Tunnel
Ketzel et al. (2003)	$(2.8 \pm 0.5) \cdot 10^{14}$	Street canyon

EFs PM _{2.5}	Massa [mg/Veh km]	Note
AFIRE (2015)	42.7 Horst $(21.0 - 91.9)_{IQR}$ 74.0 Gash $(44.1 - 128.0)_{IQR}$	EC
Huang et al. (2017)	(34 ± 23.5)	Tunnel
Ferm et al. (2015)	(20 ± 8)	NO _x tracciante
Wang et al. (2010)	(46 ± 1)	NO _x tracciante
Ketzel et al. (2007)	$(30 - 60 \pm 1)$	NO _x tracciante

Conclusioni

Utilizzando le correlazioni dei flussi con il traffico e con i parametri meteorologici locali è stato possibile ottenere delle **parametrizzazioni delle emissioni di particelle in condizioni operative reali** utilizzabili nei modelli di dispersione.

- Le footprints sono state valutate mediante due formule analitiche: **Horst & Gash**
--> **Gash è mediamente più basso del 30% rispetto ad Horst**
- I EFs in numero più alti si trovano in corrispondenza delle particelle ultrafini --> **contributo exhaust**
- I EFs in massa si osserva un importante contributo delle particelle grandi (moda coarse)--> **contributo non-exhaust**
- I EFs per numero totale, **PM₁ e PM_{2.5}** sono **comparabili con quanto riportato in letteratura**

Grazie per la vostra attenzione!



Per ulteriori informazioni: m.conte@isac.cnr.it

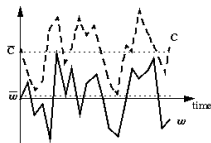


Extra!

Eddy-covariance method

The vertical turbulent fluxes are evaluated by the “**eddy-correlation**” (EC) method.

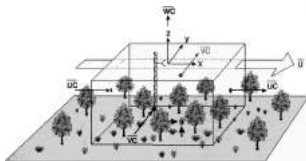
$$F_c = \overline{w c} = \overline{(\bar{w} + w') (\bar{c} + c')} = \bar{w} \bar{c} + \overline{w' c'}$$



The starting point is the **conservation equation**:

$$\frac{\partial \bar{c}}{\partial t} + \left(\bar{u} \frac{\partial \bar{c}}{\partial x} + \bar{v} \frac{\partial \bar{c}}{\partial y} + \bar{w} \frac{\partial \bar{c}}{\partial z} \right) = - \left(\frac{\partial \overline{u' c'}}{\partial x} + \frac{\partial \overline{v' c'}}{\partial y} + \frac{\partial \overline{w' c'}}{\partial z} \right) + D + S_c$$

Assuming the molecular diffusion (D) negligible together with horizontal uniformity, homogeneity and stationarity hypothesis:



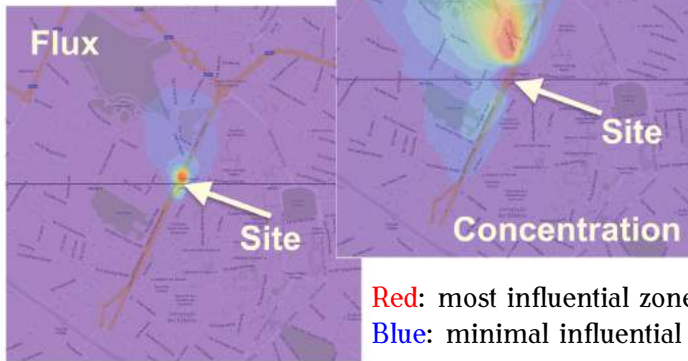
$$0 = -\overline{w' c'} + \int_0^z S_c dz$$

The turbulent flux at height z is

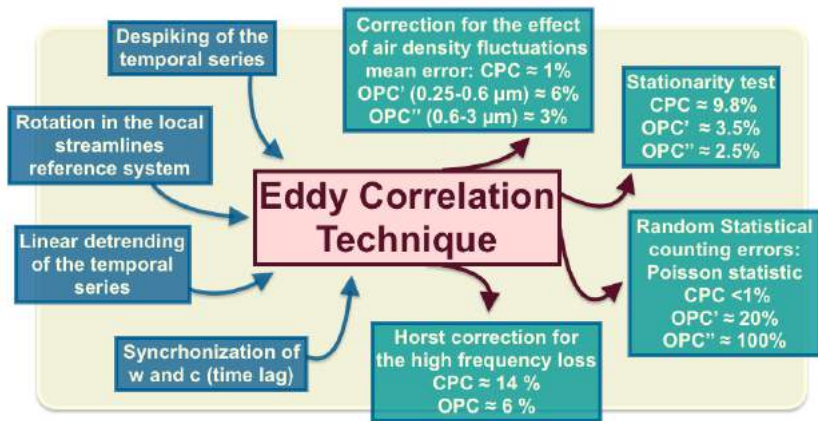
$$\overline{w' c'} = \int_0^z S_c dz$$

Site characteristic... Source areas

A source area is the surface fraction containing effective sources and sinks contributing to a measurement point



Post-Processing and Data Selection



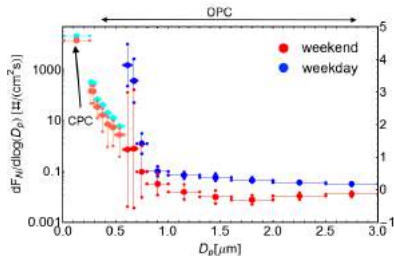
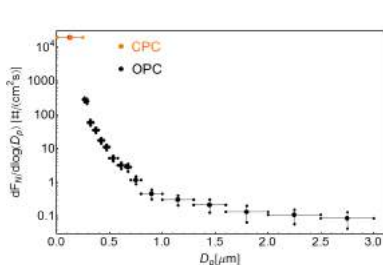
The corrections minimize errors and deviations from theoretical assumptions, experimental configuration problems and meteorological conditions [Donateo et al., 2014. Advances in Meteorology].

Number size distributions: fluxes

Number particle fluxes & Number particle concentrations: **similar behaviour!**

the maximum value was $\sim 10^4$ particles/cm²s ($D_p < 0.25 \mu\text{m}$)

the minimum value was ~ 10 particles/cm²s for $D_p > 0.5 \mu\text{m}$.

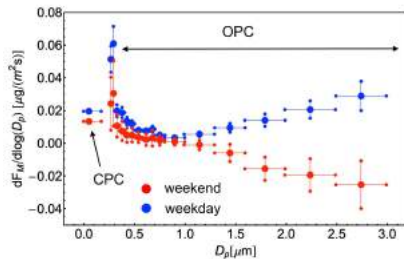
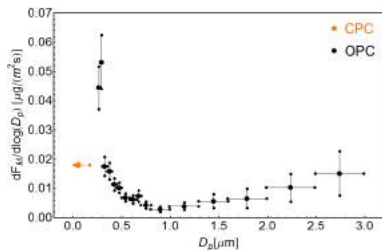


The deposition was smaller during weekdays and the particles larger than $1 \mu\text{m}$ were mostly influenced by the daily activity:

The city is, on average, a continuous particle source.

Mass size distributions: fluxes

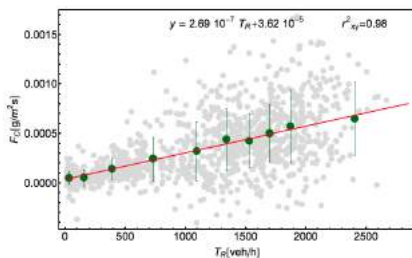
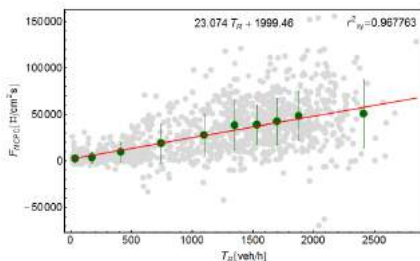
The accumulation mode gives the dominant contribution



- The deposition fluxes are dominant for large particles and during weekends.
- It is evident the effect of resuspension of coarse particles due to the traffic.

Scatter plot

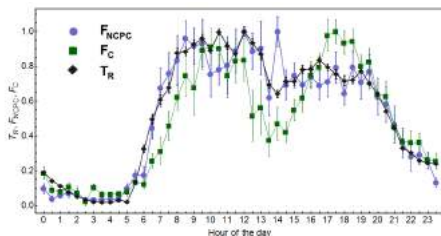
The correlation between F_{NCPC} and T_R ($r_{xy}=0.62$) and that between F_C and T_R ($r_{xy}=0.61$).



A linear fit of the average fluxes segregated in bins of T_R is a good first approximation!

... normalising the F_{NCPC} , F_C and T_R

Daily cycle of these variables were correlated





Conte, M.; Donateo A., Grasso, F.M., Contini, D.



Contini, D.; Donateo, A.; Elefante, C.; Grasso, F.M. Analysis of particles and carbon dioxide concentrations and fluxes in an urban area: correlation with traffic rate and local micrometeorology. *Atmos. Environ.* **2012**, *46*, 25-35.



Donateo A, Contini D (2014). Correlation of Dry Deposition Velocity and Friction Velocity over Different Surfaces for PM2.5 and Particle Number Concentrations. *Advances in Meteorology* 2014:12 pages.